Murine Skin Graft Survival
BALB/c->B6

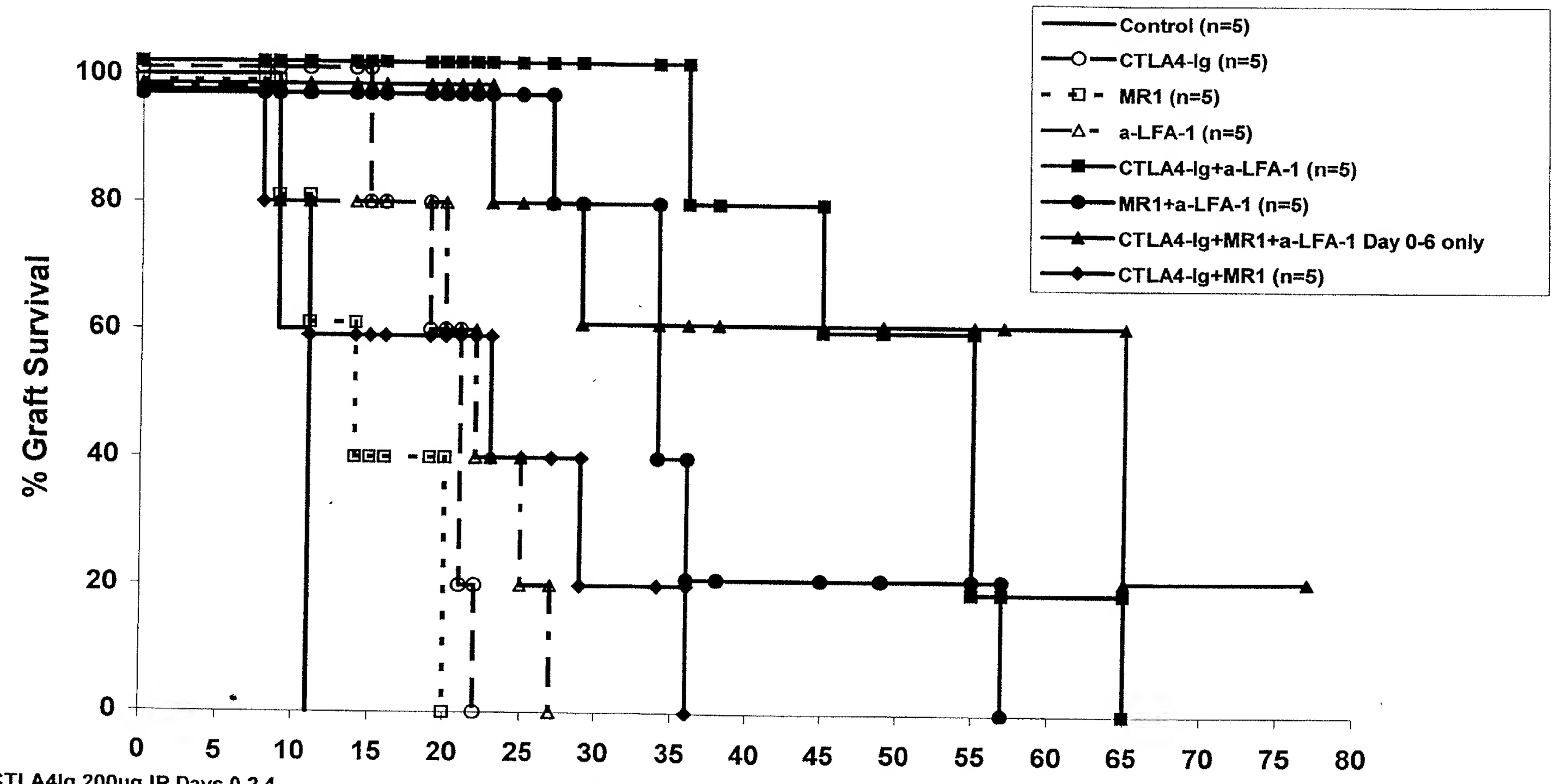

CTLA4Ig 200ug IP Days 0,2,4
MR1 250 ug IP Days 0,2,4
a-LFA-1 200 ug IP Days 0-6, 14, 21

FIGURE 1

Effect of CTLA4-Ig, MR1 and α-LFA-1 on Heart Graft Rejection Rates
B6->BALB/c

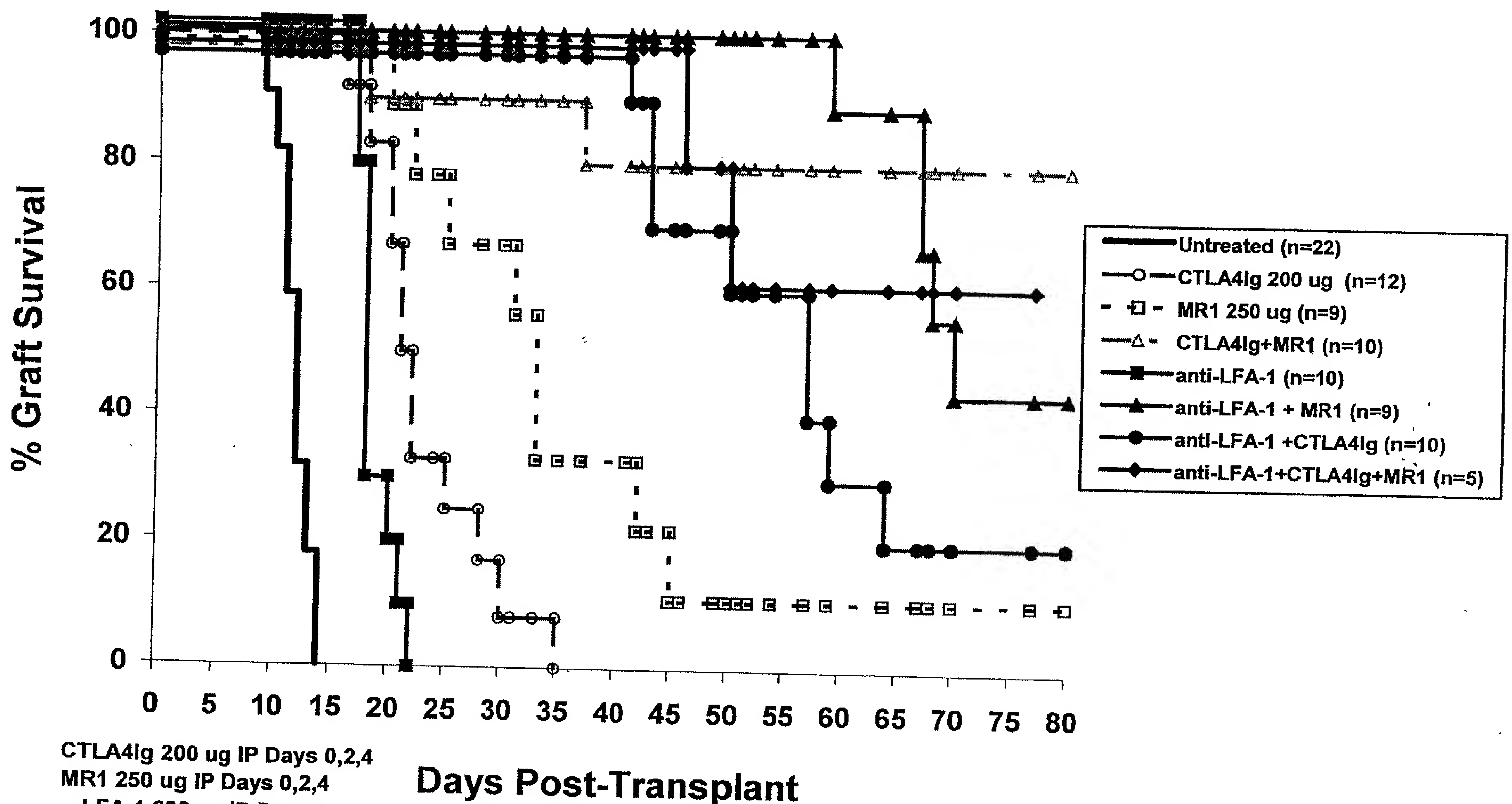

CTLA4Ig 200 ug IP Days 0,2,4
MR1 250 ug IP Days 0,2,4
α-LFA-1 200 ug IP Days 0,2,4,6

Figure 2

% Myocardium Remaining: Murine Heterotopic Heart Transplant Model

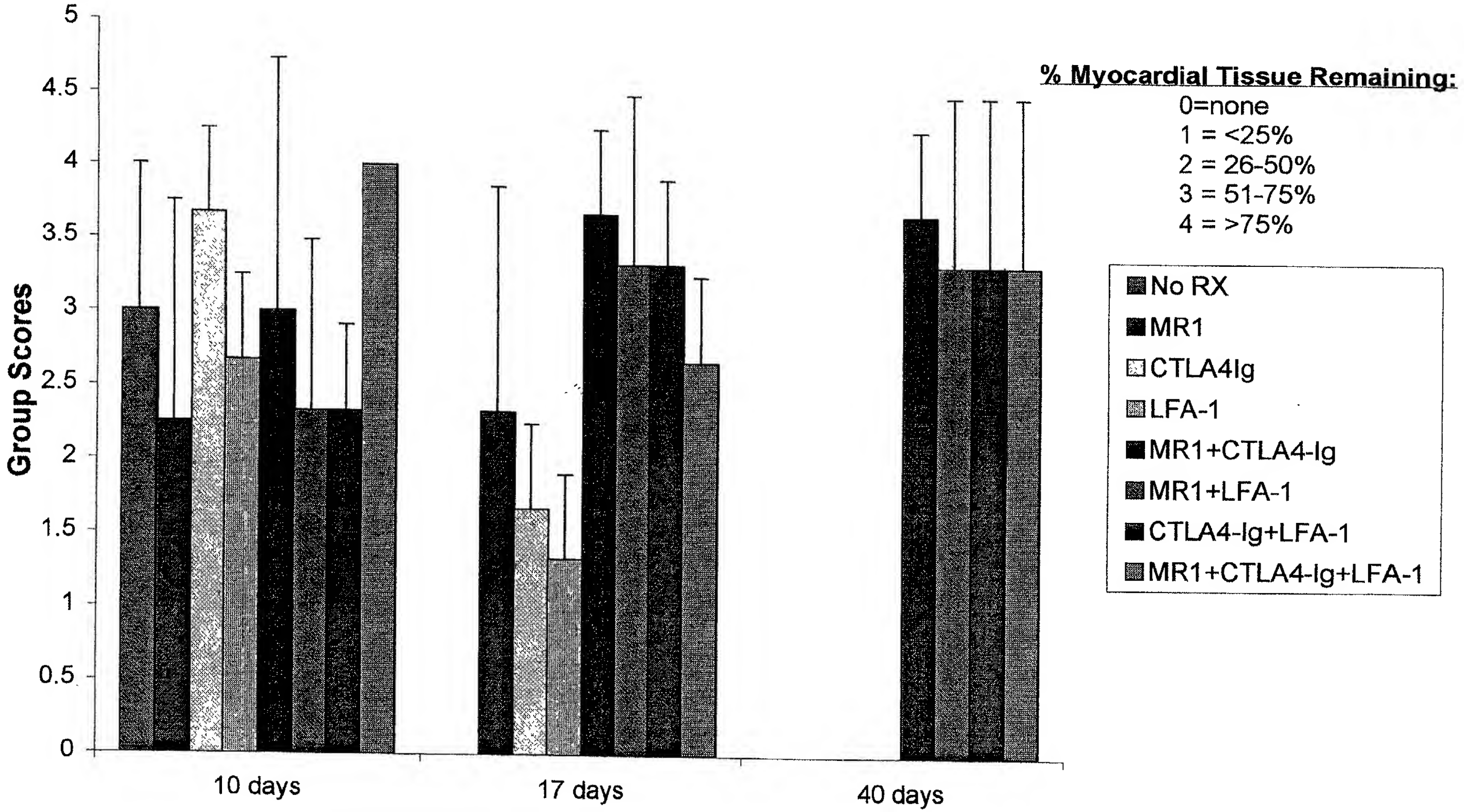

n=3 for all groups

Figure 3

Inflammation Severity Scores: Murine Hetertropic Heart Transplant Model

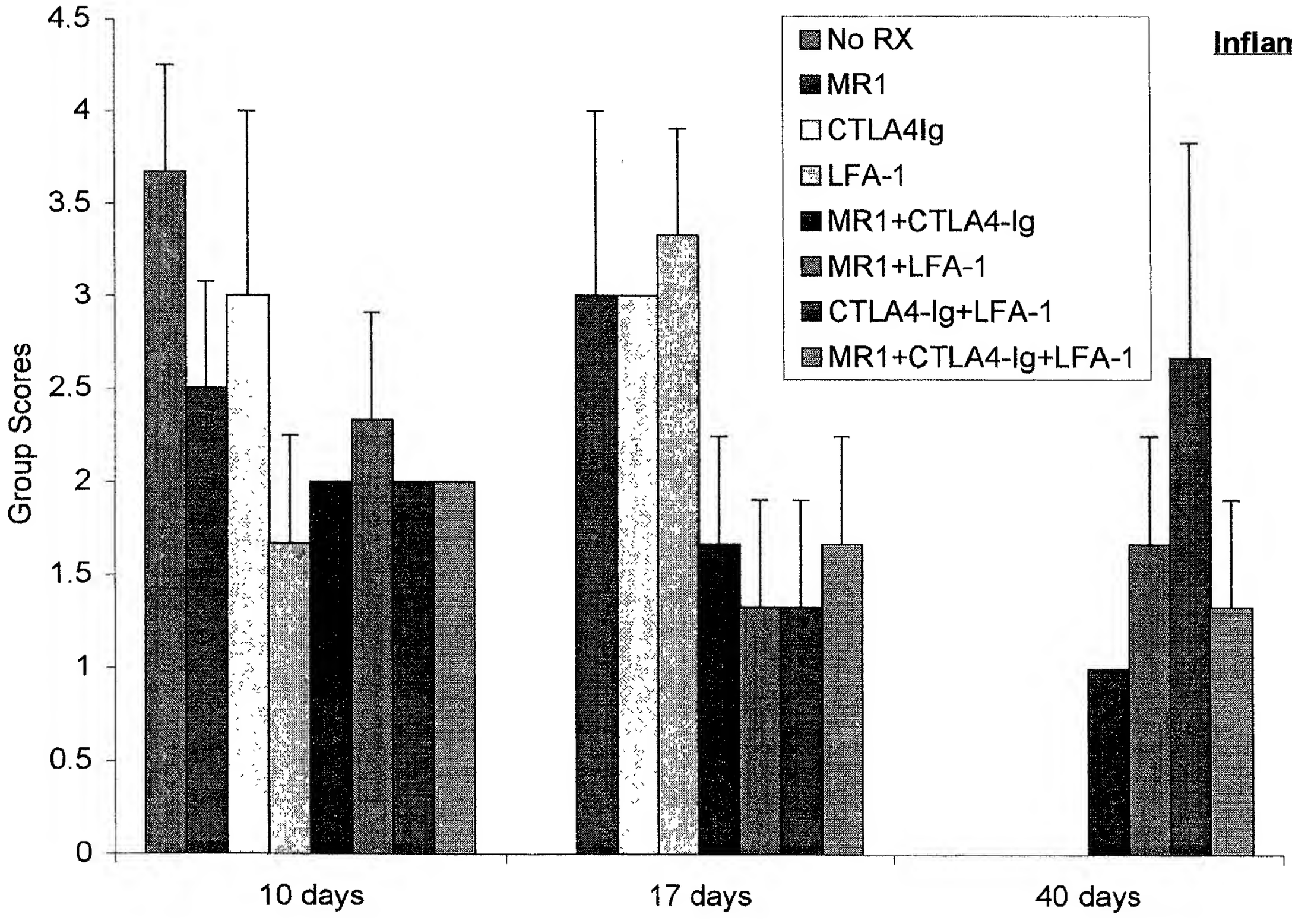

Inflammation Severity Score:

0=normal
1=minimal
2=mild
3=moderate
4=marked

n=3 for all groups

Figure 4

```
ATGGGTGTACTGCTCACACAGAGGACGCTGCTCAGTCTGGTCCTTGCACTCCTGTTTCCA      -19
M--G--V--L--L--T--Q--R--T--L--L--S--L--V--L--A--L--L--F--P--      -7

AGCATGGCGAGCATGGCAATGCACGTGGCCCAGCCTGCTGTGGTACTGGCCAGCAGCCGA      +42
S--M--A--S--M--A--M--H--V--A--Q--P--A--V--V--L--A--S--S--R--      +14
                  +1

GGCATCGCTAGCTTTGTGTGTGAGTATGCATCTCCAGGCAAAGCCACTGAGGTCCGGGTG      +102
G--I--A--S--F--V--C--E--Y--A--S--P--G--K--A--T--E--V--R--V--      +34

ACAGTGCTTCGGCAGGCTGACAGCCAGGTGACTGAAGTCTGTGCGGCAACCTACATGATG      +162
T--V--L--R--Q--A--D--S--Q--V--T--E--V--C--A--A--T--Y--M--M--      +54

GGGAATGAGTTGACCTTCCTAGATGATTCCATCTGCACGGGCACCTCCAGTGGAAATCAA      +222
G--N--E--L--T--F--L--D--D--S--I--C--T--G--T--S--S--G--N--Q--      +74

GTGAACCTCACTATCCAAGGACTGAGGGCCATGGACACGGGACTCTACATCTGCAAGGTG      +282
V--N--L--T--I--Q--G--L--R--A--M--D--T--G--L--Y--I--C--K--V--      +94

GAGCTCATGTACCCACCGCCATACTACCTGGGCATAGGCAACGGAACCCAGATTTATGTA      +342
E--L--M--Y--P--P--P--Y--Y--L--G--I--G--N--G--T--Q--I--Y--V--      +114

ATTGATCCAGAACCGTGCCCAGATTCTGATCAGGAGCCCAAATCTTCTGACAAAACTCAC      +402
I--D--P--E--P--C--P--D--S--D--Q--E--P--K--S--S--D--K--T--H--      +134

ACATCCCCACCGTCCCCAGCACCTGAACTCCTGGGTGGATCGTCAGTCTTCCTCTTCCCC      +462
T--S--P--P--S--P--A--P--E--L--L--G--G--S--S--V--F--L--F--P--      +154

CCAAAACCCAAGGACACCCTCATGATCTCCCGGACCCCTGAGGTCACATGCGTGGTGGTG      +522
P--K--P--K--D--T--L--M--I--S--R--T--P--E--V--T--C--V--V--V--      +174

GACGTGAGCCACGAAGACCCTGAGGTCAAGTTCAACTGGTACGTGGACGGCGTGGAGGTG      +582
D--V--S--H--E--D--P--E--V--K--F--N--W--Y--V--D--G--V--E--V--      +194

CATAATGCCAAGACAAAGCCGCGGGAGGAGCAGTACAACAGCACGTACCGGGTGGTCAGC      +642
H--N--A--K--T--K--P--R--E--E--Q--Y--N--S--T--Y--R--V--V--S--      +214

GTCCTCACCGTCCTGCACCAGGACTGGCTGAATGGCAAGGAGTACAAGTGCAAGGTCTCC      +702
V--L--T--V--L--H--Q--D--W--L--N--G--K--E--Y--K--C--K--V--S--      +234

AACAAAGCCCTCCCAGCCCCCATCGAGAAAACCATCTCCAAAGCCAAAGGGCAGCCCCGA      +762
N--K--A--L--P--A--P--I--E--K--T--I--S--K--A--K--G--Q--P--R--      +254

GAACCACAGGTGTACACCCTGCCCCCATCCCGGGATGAGCTGACCAAGAACCAGGTCAGC      +822
E--P--Q--V--Y--T--L--P--P--S--R--D--E--L--T--K--N--Q--V--S--      +274

CTGACCTGCCTGGTCAAAGGCTTCTATCCCAGCGACATCGCCGTGGAGTGGGAGAGCAAT      +882
L--T--C--L--V--K--G--F--Y--P--S--D--I--A--V--E--W--E--S--N--      +294

GGGCAGCCGGAGAACAACTACAAGACCACGCCTCCCGTGCTGGACTCCGACGGCTCCTTC      +942
G--Q--P--E--N--N--Y--K--T--T--P--P--V--L--D--S--D--G--S--F--      +314

TTCCTCTACAGCAAGCTCACCGTGGACAAGAGCAGGTGGCAGCAGGGGAACGTCTTCTCA      +1002
F--L--Y--S--K--L--T--V--D--K--S--R--W--Q--Q--G--N--V--F--S--      +334

TGCTCCGTGATGCATGAGGCTCTGCACAACCACTACACGCAGAAGAGCCTCTCCCTGTCT      +1062
C--S--V--M--H--E--A--L--H--N--H--Y--T--Q--K--S--L--S--L--S--      +354

CCGGGTAAATGA
P--G--K--*
```

FIG. 5

```
ATGGGTGTACTGCTCACACAGAGGACGCTGCTCAGTCTGGTCCTTGCACTCCTGTTTCCA      -19
M--G--V--L--L--T--Q--R--T--L--L--S--L--V--L--A--L--L--F--P--      -7

AGCATGGCGAGCATGGCAATGCACGTGGCCCAGCCTGCTGTGGTACTGGCCAGCAGCCGA      +42
S--M--A--S--M--A--M--H--V--A--Q--P--A--V--V--L--A--S--S--R--      +14
                  +1

GGCATCGCTAGCTTTGTGTGTGAGTATGCATCTCCAGGCAAATATACTGAGGTCCGGGTG      +102
G--I--A--S--F--V--C--E--Y--A--S--P--G--K--Y--T--E--V--R--V--      +34

ACAGTGCTTCGGCAGGCTGACAGCCAGGTGACTGAAGTCTGTGCGGCAACCTACATGATG      +162
T--V--L--R--Q--A--D--S--Q--V--T--E--V--C--A--A--T--Y--M--M--      +54

GGGAATGAGTTGACCTTCCTAGATGATTCCATCTGCACGGGCACCTCCAGTGGAAATCAA      +222
G--N--E--L--T--F--L--D--D--S--I--C--T--G--T--S--S--G--N--Q--      +74

GTGAACCTCACTATCCAAGGACTGAGGGCCATGGACACGGGACTCTACATCTGCAAGGTG      +282
V--N--L--T--I--Q--G--L--R--A--M--D--T--G--L--Y--I--C--K--V--      +94

GAGCTCATGTACCCACCGCCATACTACGAGGGCATAGGCAACGGAACCCAGATTTATGTA      +342
E--L--M--Y--P--P--P--Y--Y--E--G--I--G--N--G--T--Q--I--Y--V--      +114

ATTGATCCAGAACCGTGCCCAGATTCTGATCAGGAGCCCAAATCTTCTGACAAAACTCAC      +402
I--D--P--E--P--C--P--D--S--D--Q--E--P--K--S--S--D--K--T--H--      +134

ACATCCCCACCGTCCCCAGCACCTGAACTCCTGGGGGGGATCGTCAGTCTTCCTCTTCCCC      +462
T--S--P--P--S--P--A--P--E--L--L--G--G--S--S--V--F--L--F--P--      +154

CCAAAACCCAAGGACACCCTCATGATCTCCCGGACCCCTGAGGTCACATGCGTGGTGGTG      +522
P--K--P--K--D--T--L--M--I--S--R--T--P--E--V--T--C--V--V--V--      +174

GACGTGAGCCACGAAGACCCTGAGGTCAAGTTCAACTGGTACGTGGACGGCGTGGAGGTG      +582
D--V--S--H--E--D--P--E--V--K--F--N--W--Y--V--D--G--V--E--V--      +194

CATAATGCCAAGACAAAGCCGCGGGAGGAGCAGTACAACAGCACGTACCGTGTGGTCAGC      +642
H--N--A--K--T--K--P--R--E--E--Q--Y--N--S--T--Y--R--V--V--S--      +214

GTCCTCACCGTCCTGCACCAGGACTGGCTGAATGGCAAGGAGTACAAGTGCAAGGTCTCC      +702
V--L--T--V--L--H--Q--D--W--L--N--G--K--E--Y--K--C--K--V--S--      +234

AACAAAGCCCTCCCAGCCCCCATCGAGAAAACCATCTCCAAAGCCAAAGGGCAGCCCCGA      +762
N--K--A--L--P--A--P--I--E--K--T--I--S--K--A--K--G--Q--P--R--      +254

GAACCACAGGTGTACACCCTGCCCCCATCCCGGGATGAGCTGACCAAGAACCAGGTCAGC      +822
E--P--Q--V--Y--T--L--P--P--S--R--D--E--L--T--K--N--Q--V--S--      +274

CTGACCTGCCTGGTCAAAGGCTTCTATCCCAGCGACATCGCCGTGGAGTGGGAGAGCAAT      +882
L--T--C--L--V--K--G--F--Y--P--S--D--I--A--V--E--W--E--S--N--      +294

GGGCAGCCGGAGAACAACTACAAGACCACGCCTCCCGTGCTGGACTCCGACGGCTCCTTC      +942
G--Q--P--E--N--N--Y--K--T--T--P--P--V--L--D--S--D--G--S--F--      +314

TTCCTCTACAGCAAGCTCACCGTGGACAAGAGCAGGTGGCAGCAGGGGAACGTCTTCTCA      +1002
F--L--Y--S--K--L--T--V--D--K--S--R--W--Q--Q--G--N--V--F--S--      +334

TGCTCCGTGATGCATGAGGCTCTGCACAACCACTACACGCAGAAGAGCCTCTCCCTGTCT      +1062
C--S--V--M--H--E--A--L--H--N--H--Y--T--Q--K--S--L--S--L--S--      +354

CCGGGTAAATGA
P--G--K--*
```

FIG. 6

FIG. 7 A

FIG. 7 B

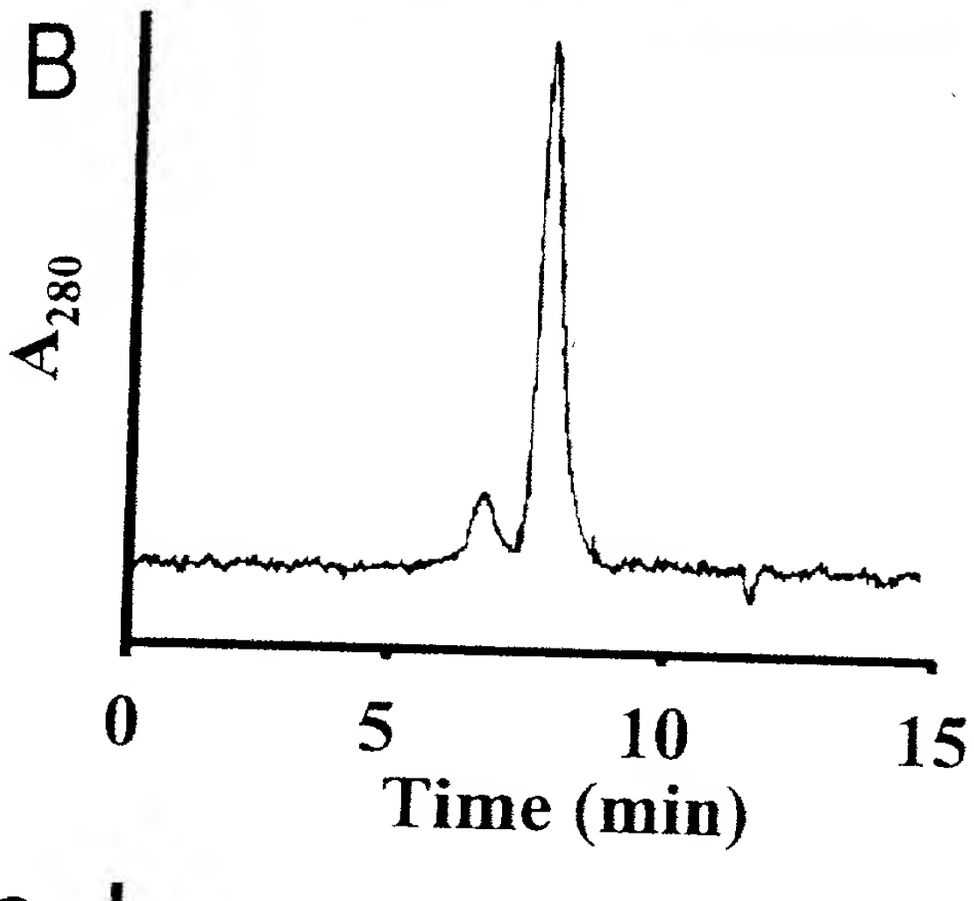

FIG. 7 C

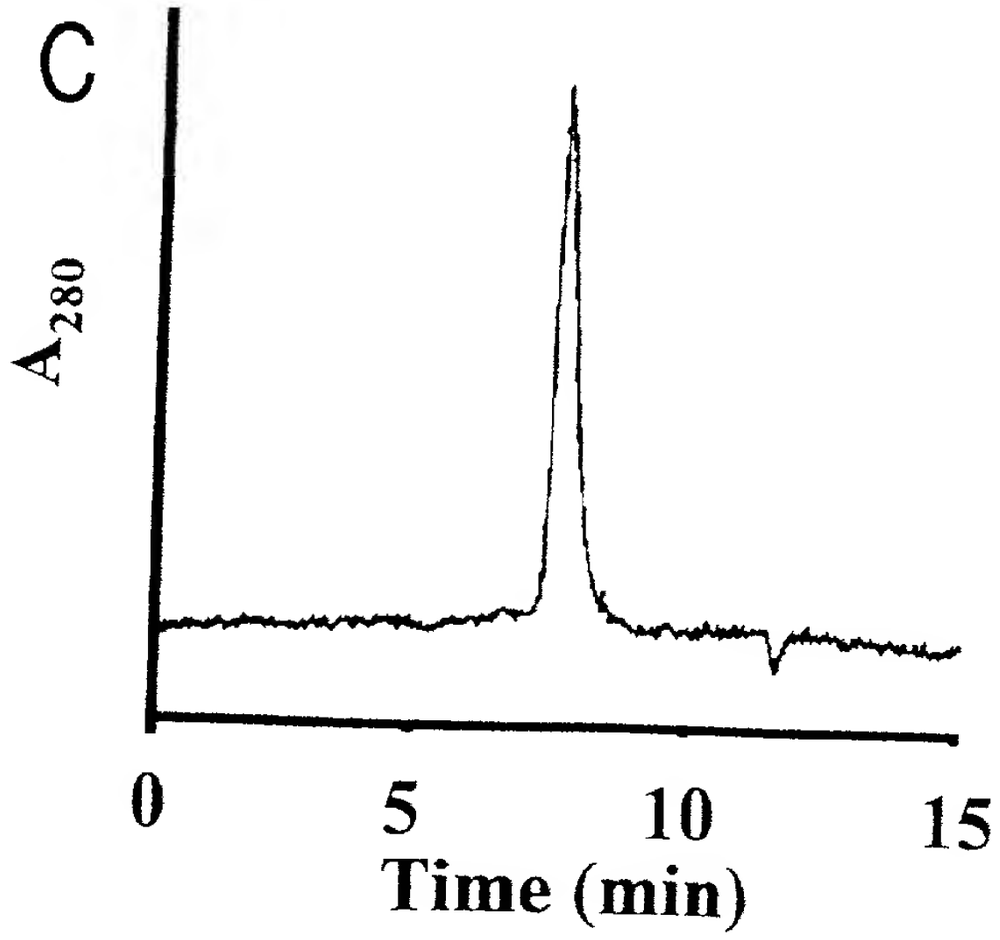

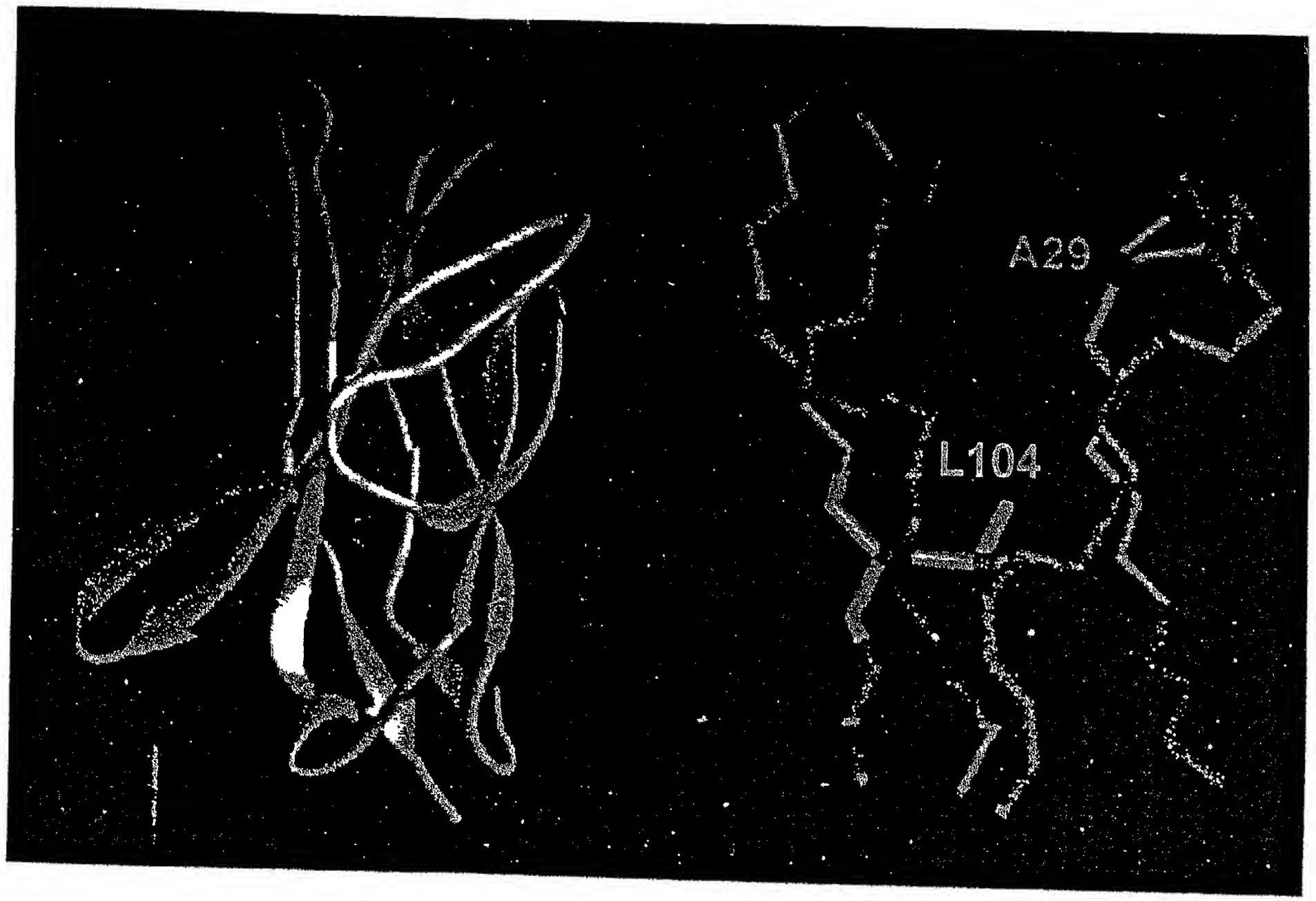

FIG. 8

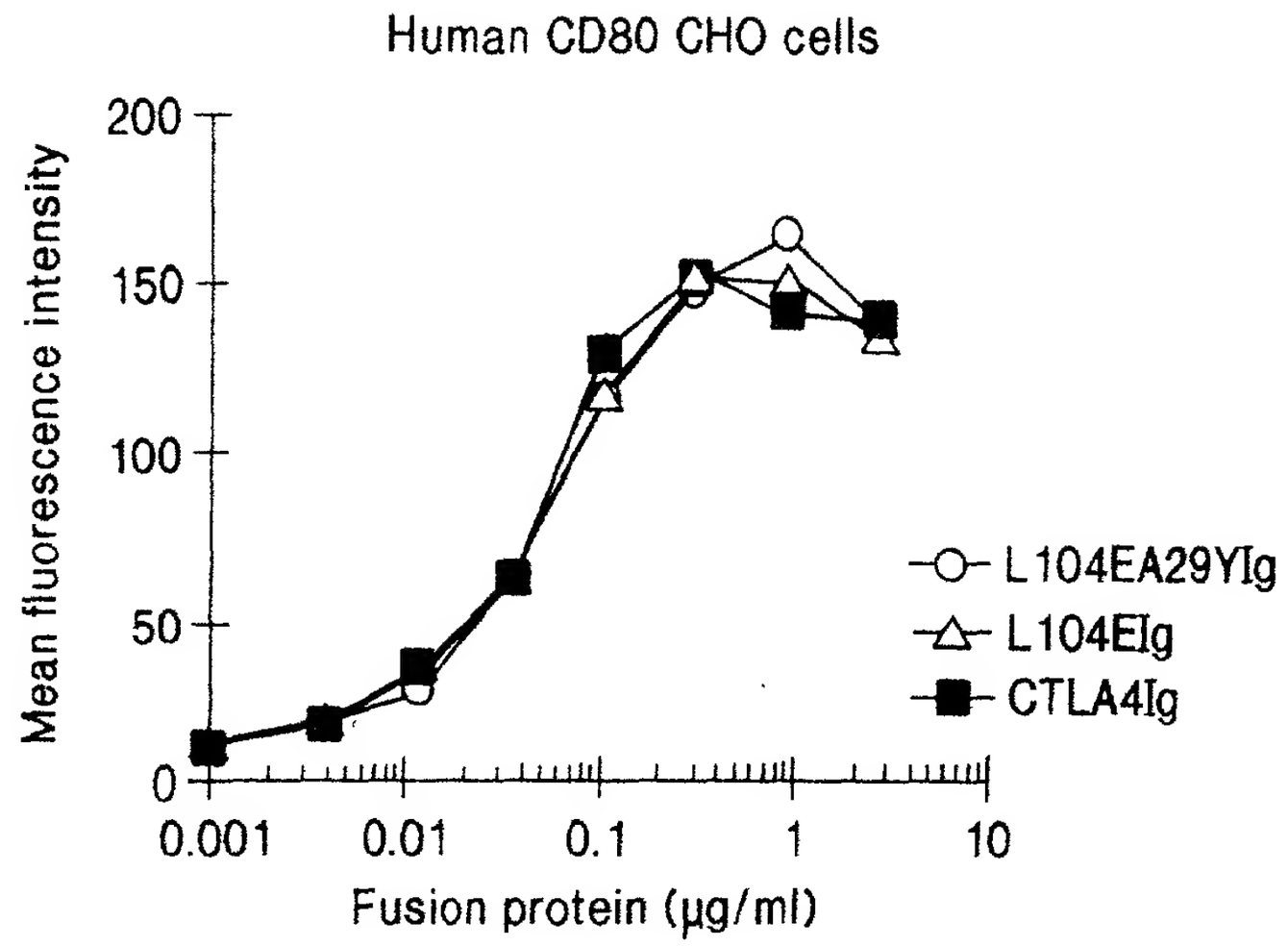
Human CD80 CHO cells
Mean fluorescence intensity
200
150
100
50
0
0.001
0.01
0.1
1
10
Fusion protein (μg/ml)
L104EA29YIg
L104EIg
CTLA4Ig

FIG. 9 A

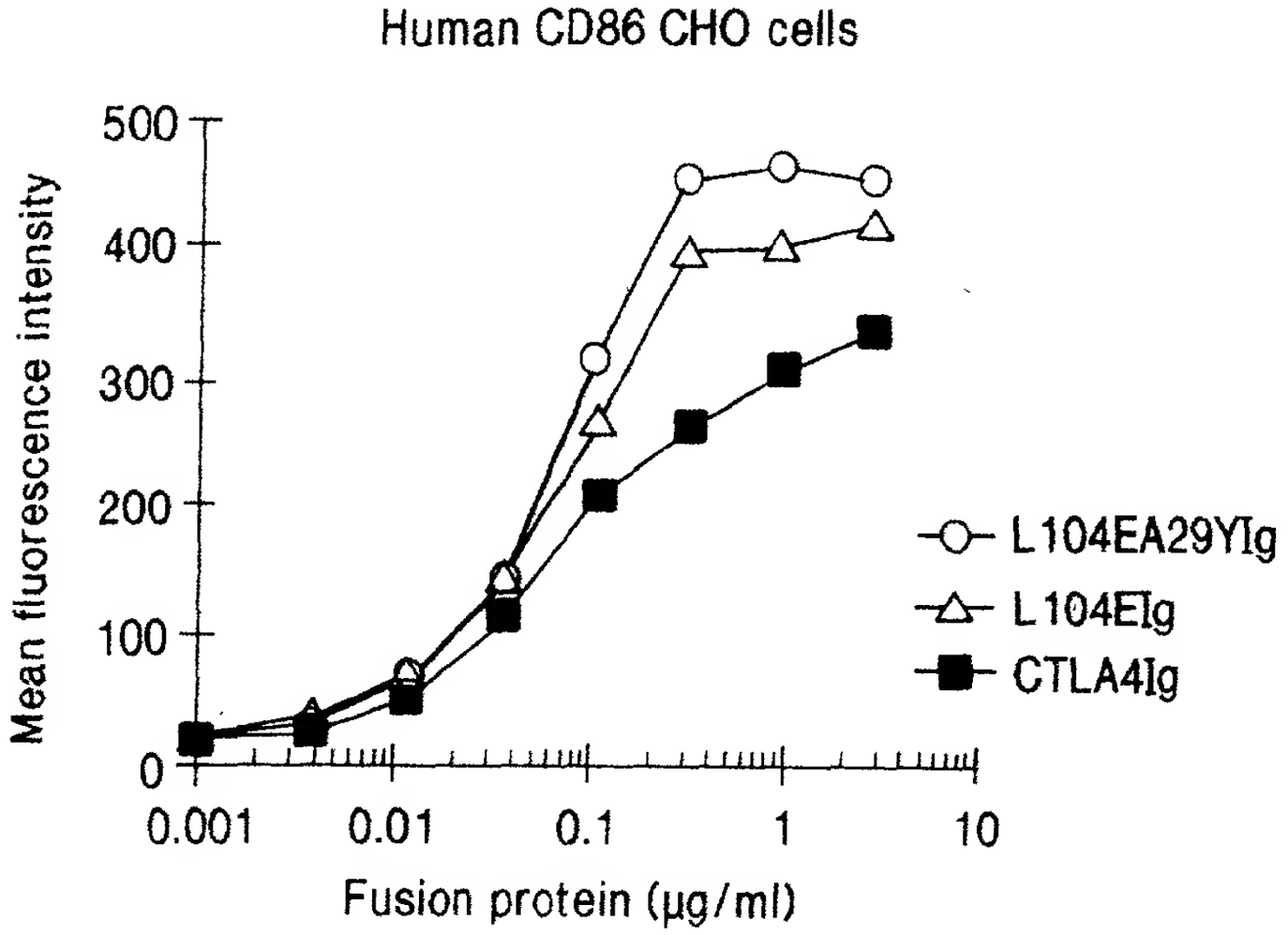
Human CD86 CHO cells
Mean fluorescence intensity
500
400
300
200
100
0
0.001
0.01
0.1
1
10
Fusion protein (μg/ml)
L104EA29YIg
L104EIg
CTLA4Ig

FIG. 9 B

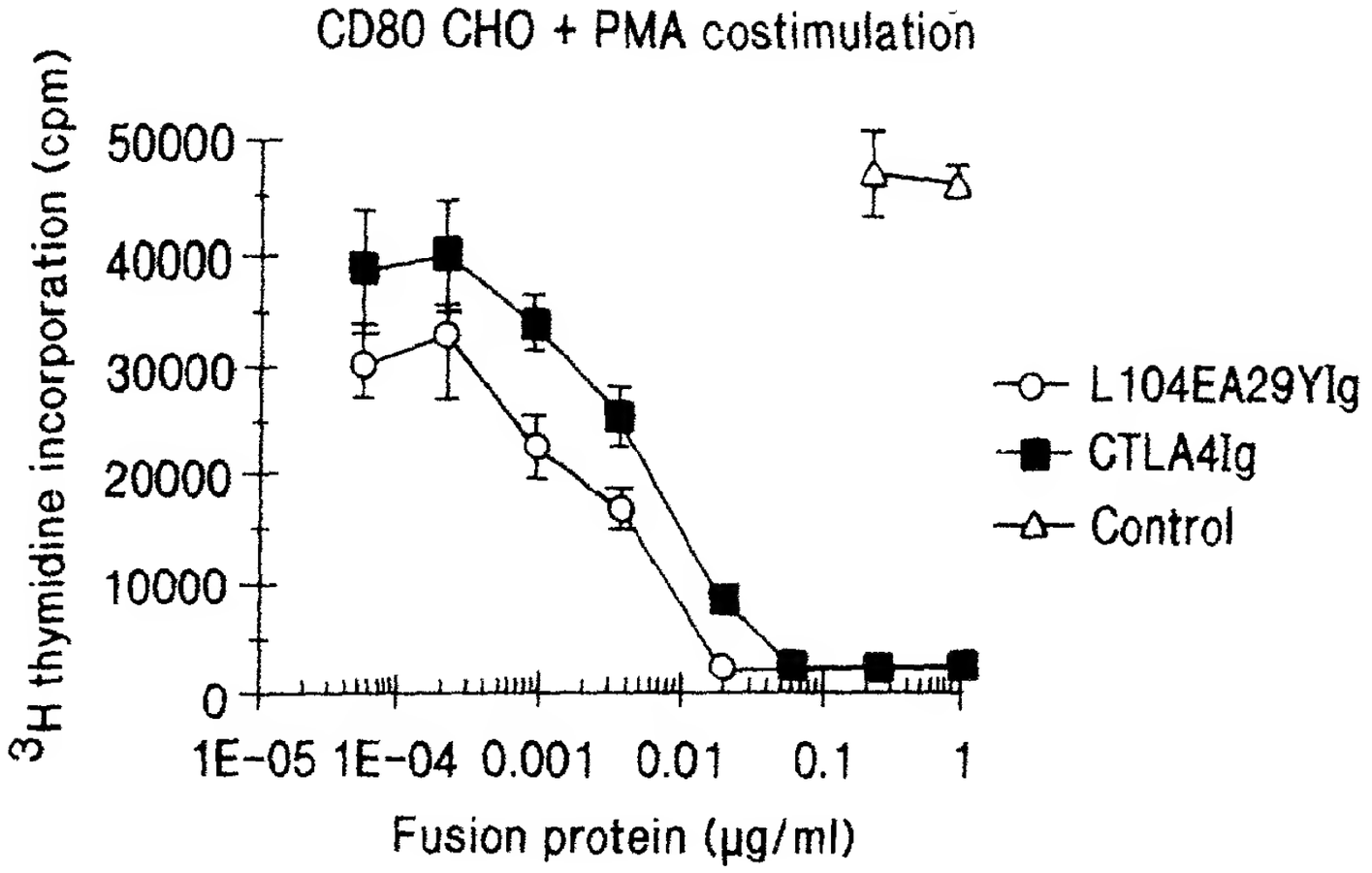

FIG. 10A

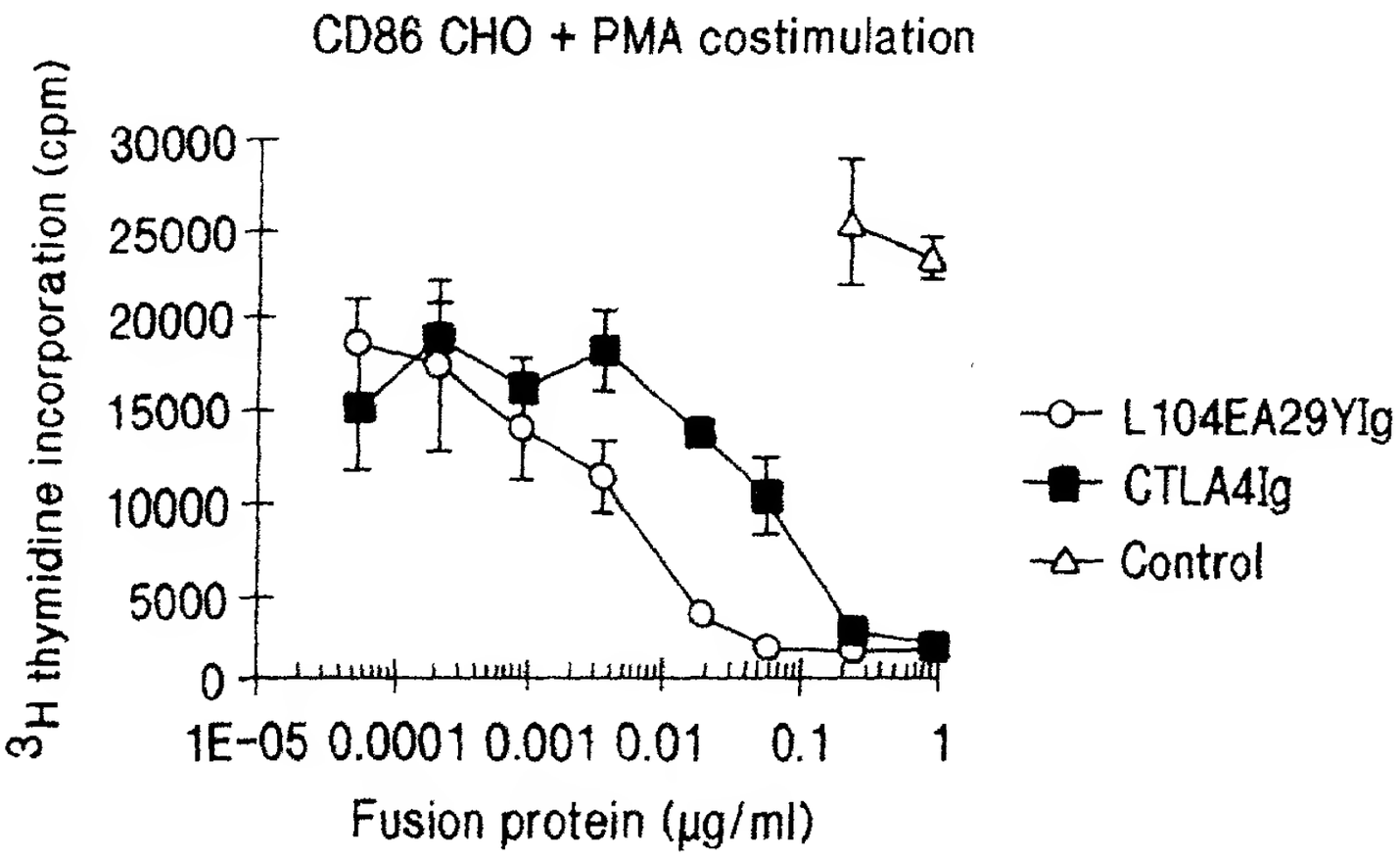

FIG. 10B

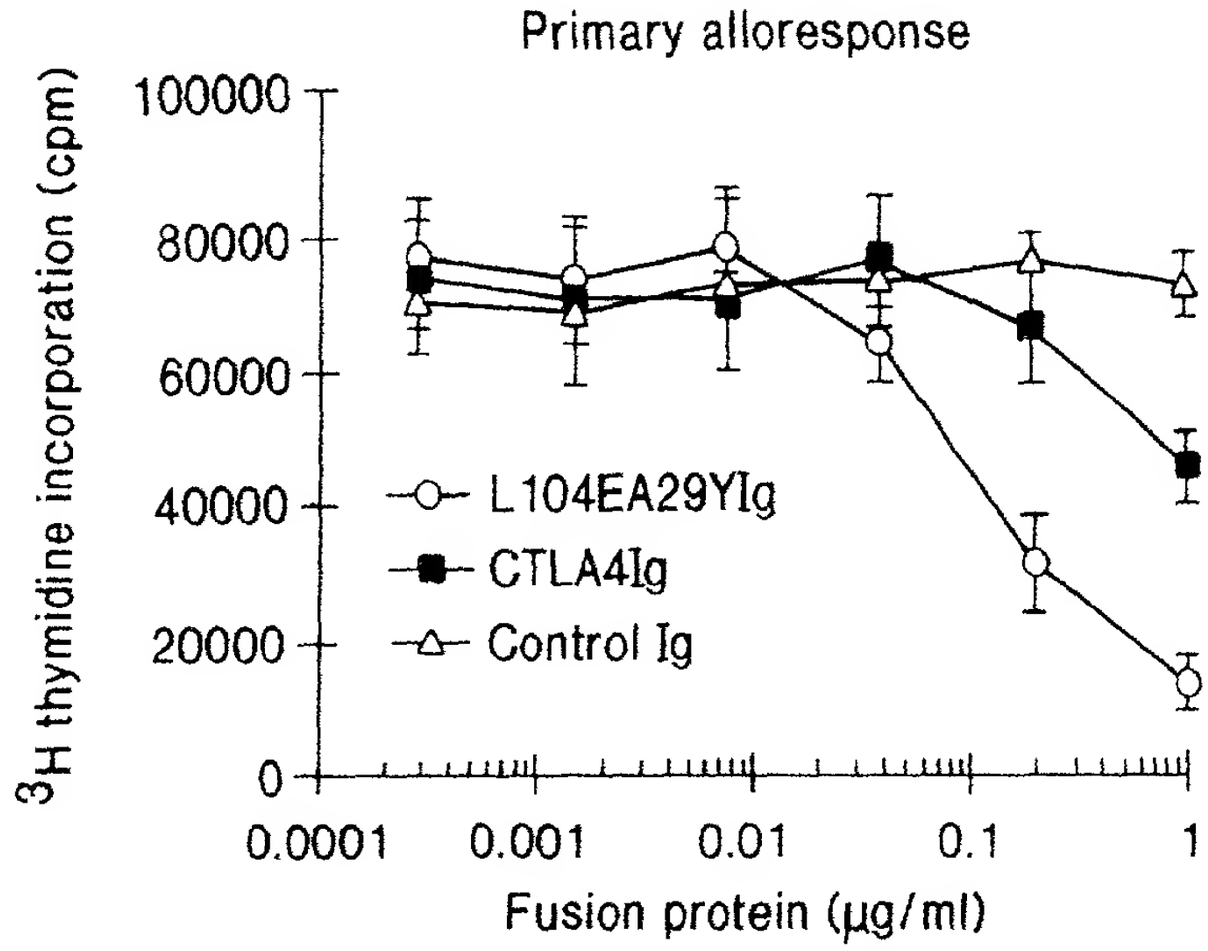

FIG. 11 A

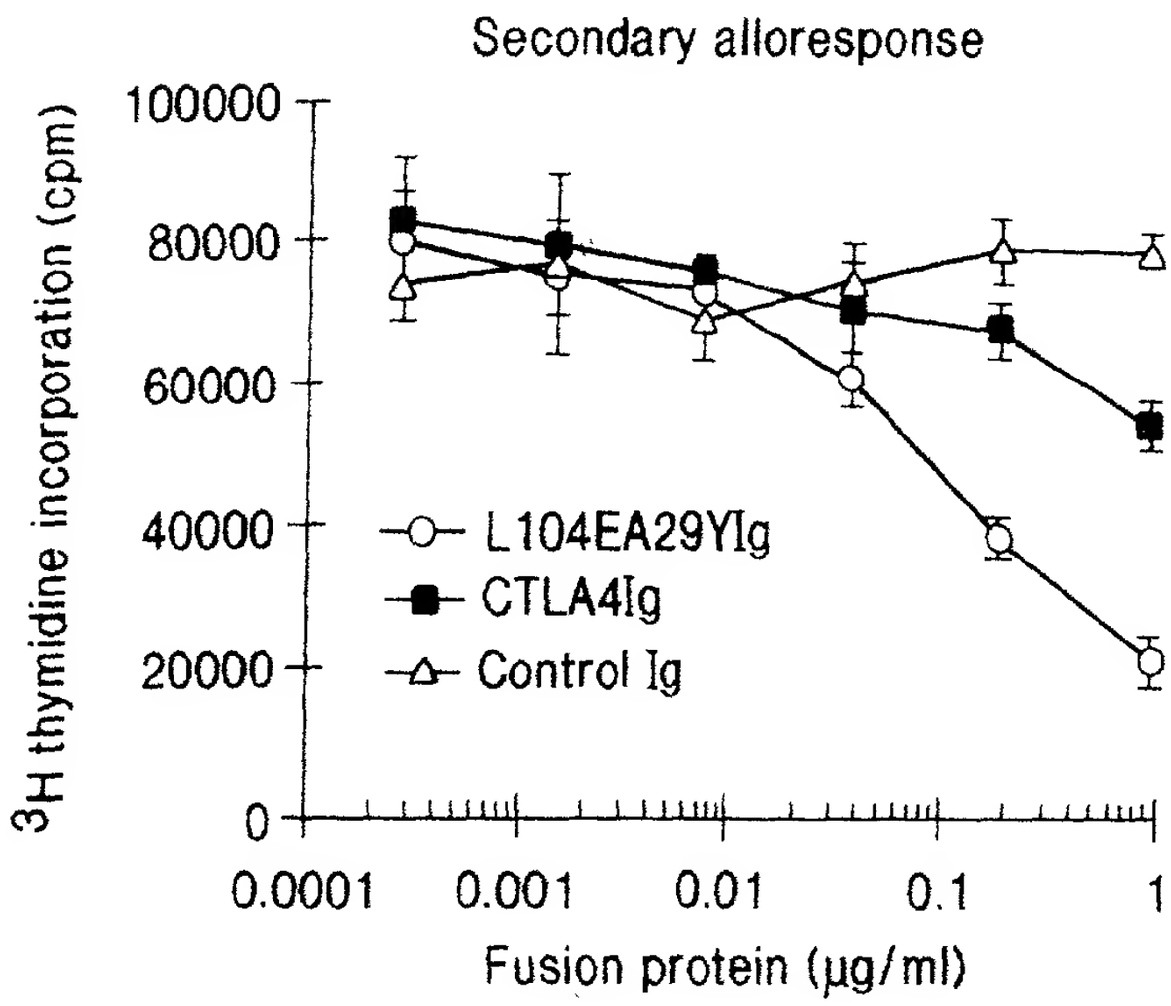

FIG. 11 B

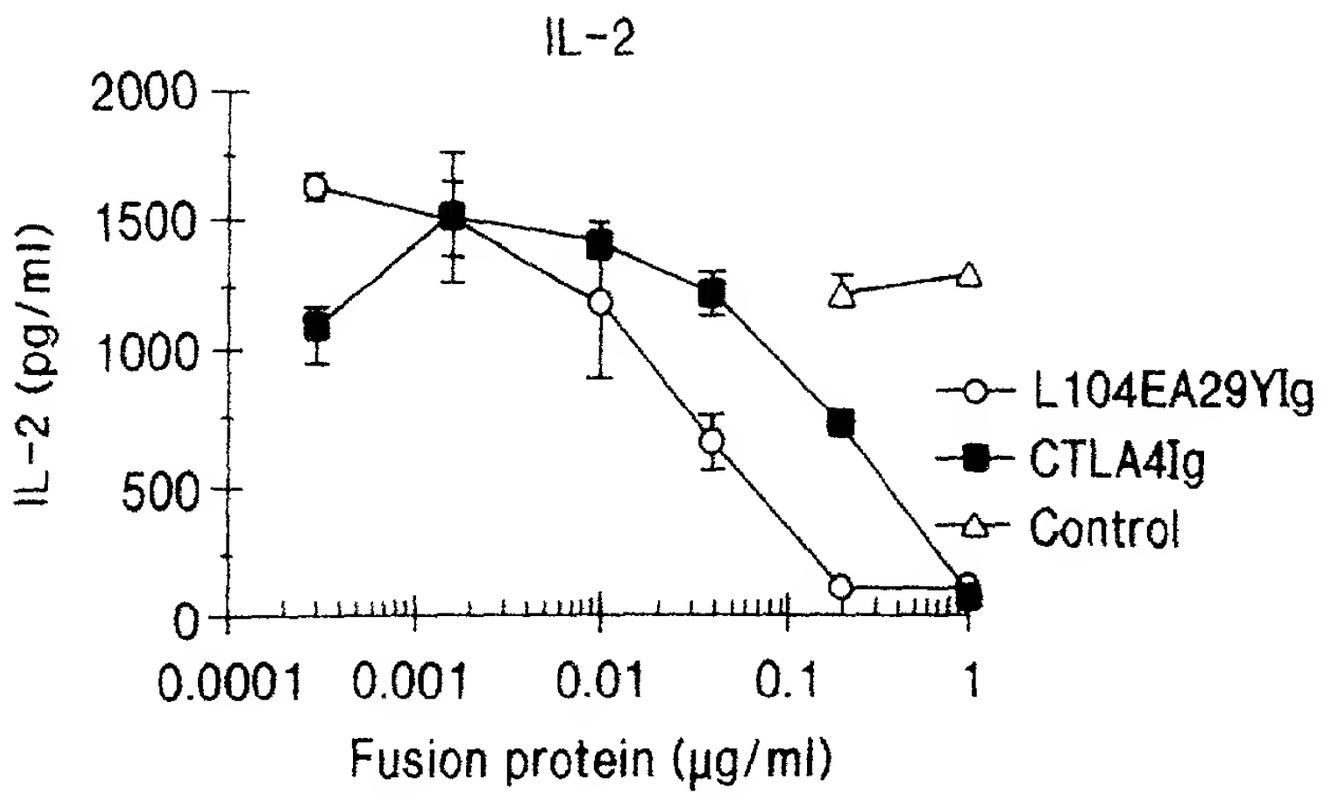

FIG. 12A

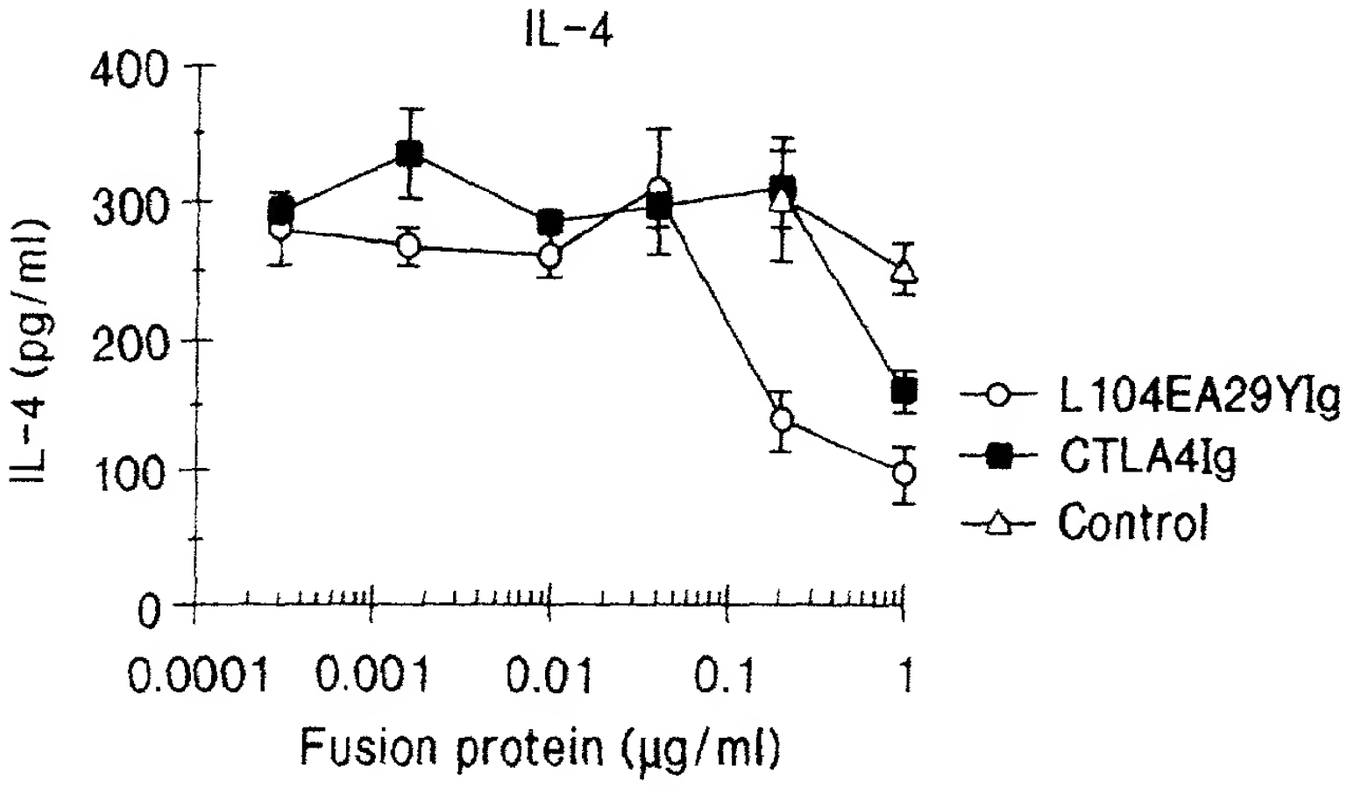

FIG. 12B

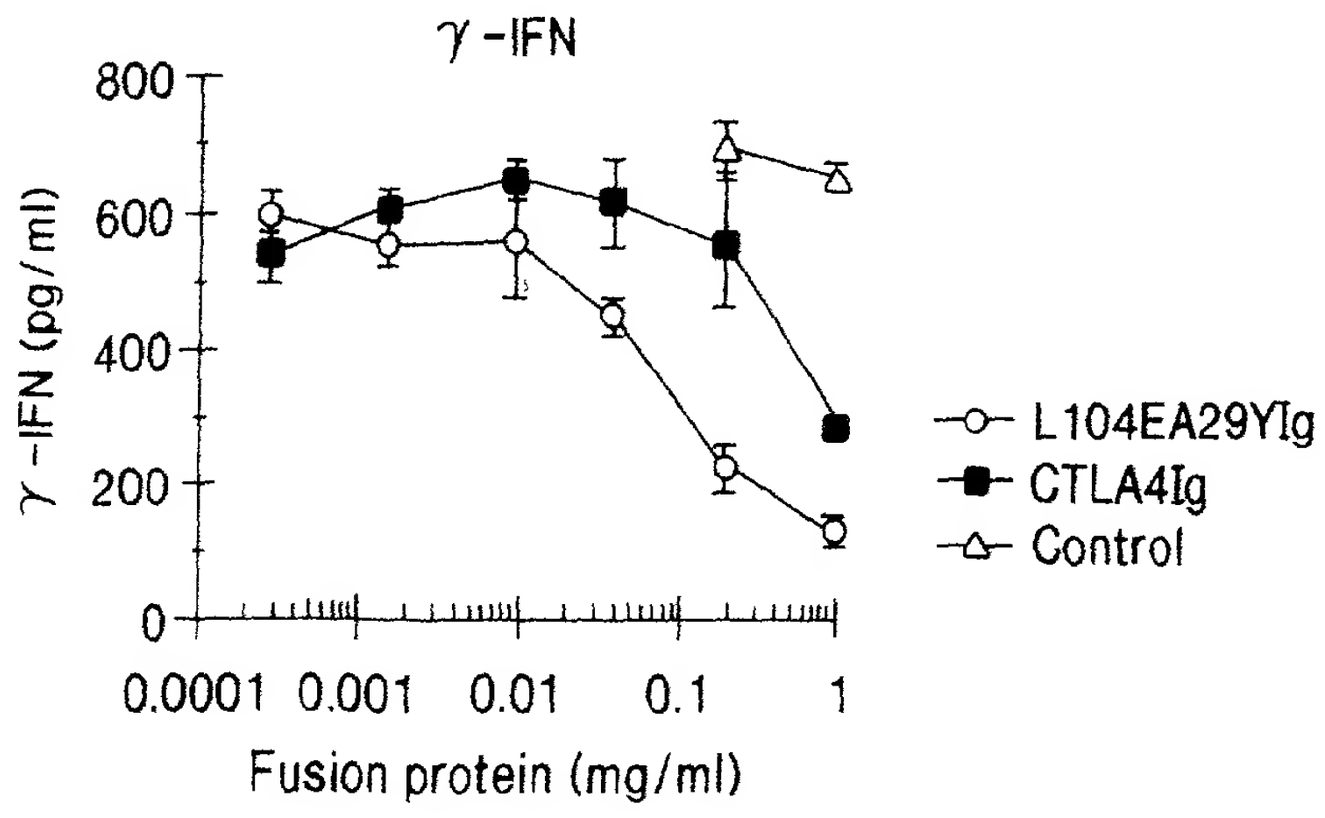

FIG. 12C

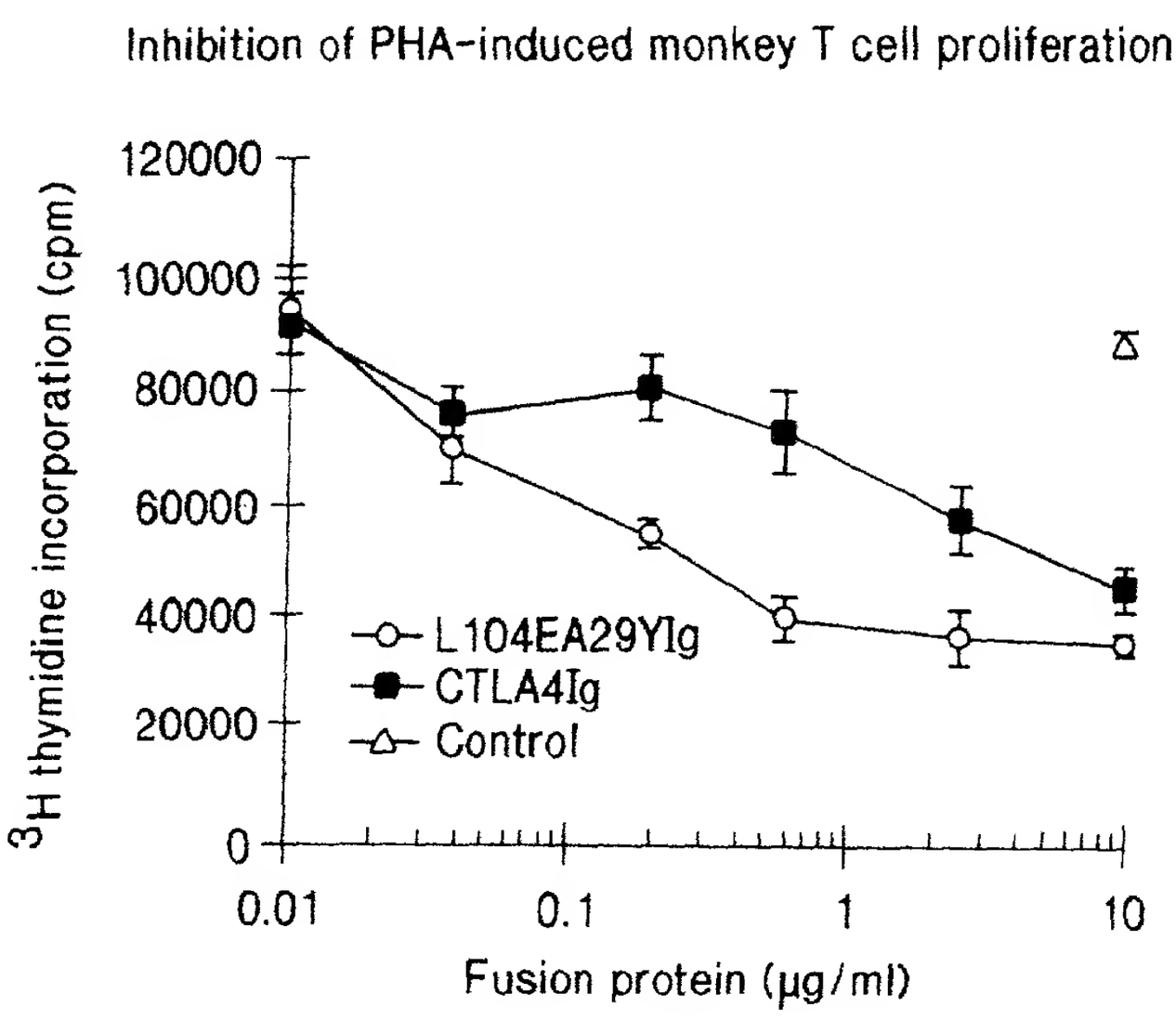
Inhibition of PHA-induced monkey T cell proliferation
120000
100000
80000
60000
40000
20000
0
^{3}H thymidine incorporation (cpm)
L104EA29YIg
CTLA4Ig
Control
0.01
0.1
1
10
Fusion protein (μg/ml)

FIG. 13